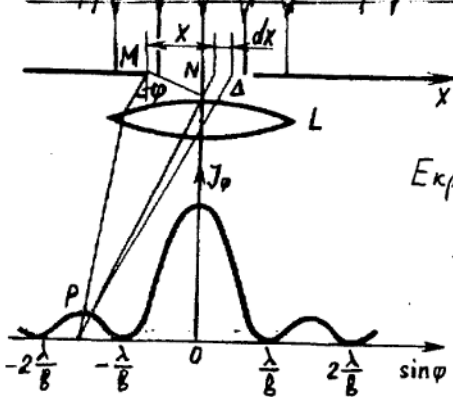


## Дифракція Фраунгофера

- Д. вдалій зоні.  
 Д. в паралельних променях.  
 Д., що спостерігається на таких відстанях, для яких кутові розміри неоднорідностей  $\ll$  відстань  $L$  до мінімальних розмірів цих неоднорідностей.  
 Між Д. Френеля і Д. Фраунгофера не існує принципової різниці і різкої межі.

### Дифракція Фраунгофера від прямокутної шіліни



Ширина шіліни -  $b$ .  
 $b \ll$  довжина хвилі.  
 Плоска монохроматична хвилья.

Екран із зображен. - у фокальній площині лінзи  $L$ .

Поділимо відкриту частину хвильового фронту на елементарні зони завширшки  $dx$ , паралельні довжині шіліни.

Відгинні хвилі від цих зон збираються лінзою у т. Р.  
 Напруженість хвилі від ел. зони  $dx$

$$dE = c \cdot dx \cdot \cos \omega t \quad \text{де } c - \text{ стала.}$$

Сума напруженості хвилі від всіх шілін

$$E_0 = \int c \cdot dx = c \cdot b \Rightarrow c = E_0 / b$$

$$\text{Отже: } dE = \frac{E_0}{b} \cdot dx \cdot \cos \omega t$$

$$\Delta = x \cdot \sin \varphi \Rightarrow \delta = k \cdot x \cdot \sin \varphi = 2\pi \frac{1}{\lambda} x \cdot \sin \varphi$$

$$E = E_0 \cdot \cos \omega t$$

$$dE = \frac{E_0}{b} dx \cos(\omega t - kx \cdot \sin \varphi)$$

$$E = \int_0^b \frac{E_0}{b} \cos(\omega t - kx \cdot \sin \varphi) dx = E_0 \frac{\sin\left[\frac{kb}{2} \sin \varphi\right]}{\frac{kb}{2} \sin \varphi} \cdot \cos\left(\omega t - \frac{kb}{2} \sin \varphi\right)$$

Амплітуда коливань  $E_\varphi = E_0 \frac{\sin\left[\frac{kb}{2} \cdot \sin \varphi\right]}{\frac{kb}{2} \sin \varphi} = \frac{E_0 \cdot \sin\left[\frac{\pi b}{\lambda} \cdot \sin \varphi\right]}{\frac{\pi b}{\lambda} \cdot \sin \varphi}$

$$Y_\varphi = Y_0 \frac{\sin^2\left(\frac{\pi b}{\lambda} \cdot \sin \varphi\right)}{\left(\frac{\pi b}{\lambda} \cdot \sin \varphi\right)^2} \quad (\text{A})$$

$Y_0$  — інт. сила від всіх  
чілків в напрямку  
 $\varphi = 0$

Аналіз (A): 1)  $Y_{-\varphi} = Y_\varphi$  : дифр. картина симетрична  
бікочно головній осінній осі лінзи.

2) Дослідимо (A) на extre.:

$$\lim_{x \rightarrow 0} \frac{\sin x}{x} = 1 \quad - \text{бідома границя.}$$

Тоді для  $\varphi = 0$  (в центрі дифр. картини) буде max.  
(головний, а крізь — „нульовий“ max).

3) Умова для „нульового“ max не залежить від  $\lambda$ . „Нульовий“ max не розкладається в спектр.

4) Min інтенсивності спостерігаються для кутів дифр.,  
коли  $\frac{\pi b}{\lambda} \cdot \sin \varphi = \pm m \cdot \pi \quad (m = 1, 2, 3, \dots)$

$$(*) \quad \frac{b \cdot \sin \varphi}{\lambda} = \pm m \lambda \quad - \text{умова min}$$

5) Min розподілів інтенсивності, куті дифр.  
яких знаходяться, розб'єзуючи трансцендентне рів-  
нення  $\operatorname{tg} u = u$ , де  $u = \frac{\pi b}{\lambda} \cdot \sin \varphi$ , тобто для кутів  
 $\sin \varphi_1 = \pm 1.43 \frac{\lambda}{b}$ ;  $\sin \varphi_2 = \pm 2.46 \frac{\lambda}{b}$ ; ...

3.

6) У збільшеннем  $\varphi$  інгес. мах швидко спадає:

$$\text{т.о. } H_1 : H_2 : H_3 : \dots = 1 : 0.045 : 0.016 : 0.008 : \dots$$

Основна частина світла зосереджена в головному ("кульовому") маху.

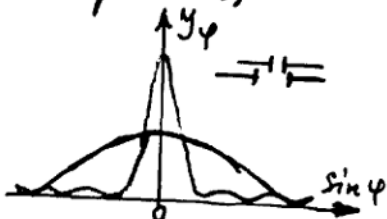
5% св. ен. припадає на два наступні махи і 2% - на два інших махи.

7) Для непохроматичного (нац., "білого") світла:

головний мах не зменшується (він - "білий");

другі махи ( $m=1, 2, 3, \dots$ ) - коливальні: для кожної  $\lambda$ -світл. кут  $\varphi$ . Фіонегова частка розподілена більше за "кульовий" мах, а гербона - менше.

8) З (A) видно, що дифр. картина залежить від  $b$ - параметру шарів: при  $b \uparrow$  величина  $\varphi$   $\downarrow$



з чим  $\sin \varphi \downarrow$ : (з  $\lambda = \frac{\pi}{2}$ ); (для  $m=1$ )

9) При  $b = \lambda \Rightarrow \sin \varphi = 1 \Rightarrow$

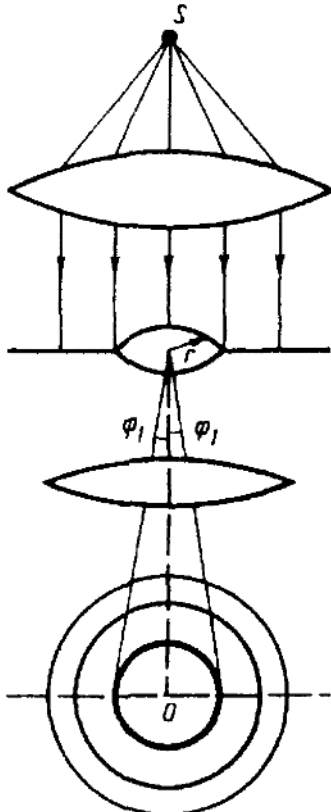
$\varphi = \frac{\pi}{2} \Rightarrow$  головний мах

в центрі ради охоплює всю область екрану.

10) Для  $b > \lambda$  кутова відстань між першими махами зменшується, а головний мах стає більш різким.

11) Коли  $b \gg \lambda$ , то  $b$  у центрі дифр. картини буде тільки зображення джерела, що відповідає прямолінійному розповсюдженню світла.

## Дифракція світла на кругому отворі



Принципово не важливо:

плоска або сферична хвиль  $\leftarrow$  лініза.

- 1) У центрі дифр. картини - світла пляма (захід !).
- 2) Розподіл інтенсивності в дифракц. картині вираховується через спеціальну ф-цю Бесселя 1 порядку  $J_1(u)$ ,

$$u = \frac{2\pi}{\lambda} \cdot r \cdot \sin \varphi$$

$r$  - радіус отвору;

$\varphi$  - кут дифракції.

Корисні відомості про дифракцію, що відповідає 1 мін (визначає кутові розміри центральної світлової плями), визна-

гається з умови

Це дуже важлива формула

Її можна записати так:  $\sin \varphi_1 = 1.22 \frac{\lambda}{r}$

Розподіл інтенсивності в дифракц. картині описується залежністю

$$J_p = J_0 \left[ 2J_1(u) \right]^2$$

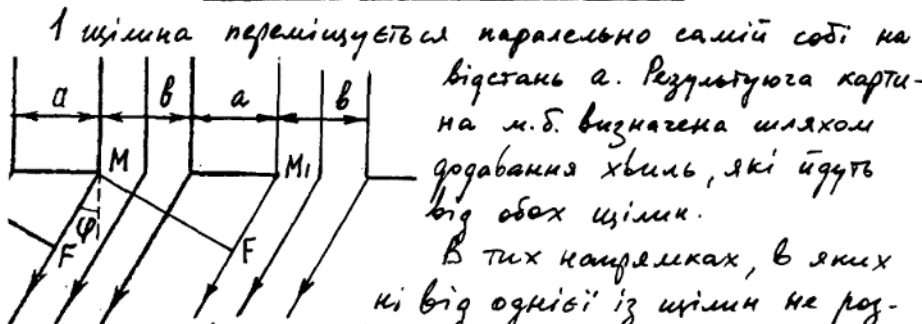
Найджемо формулу для  $u$  відповідно наприкінці на частині ( $m = \pm 2, \pm 3, \dots$ ) мін:

$$\sin \varphi_m \approx m \cdot 0.61 \cdot \frac{\lambda}{r}$$

Насправді:  $\sin \varphi_2 = 1.12 \frac{\lambda}{r}$ ;  $\sin \varphi_3 = 1.62 \frac{\lambda}{r}$

$$\sin \varphi_r = 2.12 \frac{\lambda}{r}$$

### Дифракція світла на двох щілинах



1 щілина переноситься паралельно самій собі на відстань  $a$ . Результатує картина як б. визначення шляхом додавання хвиль, які йдуть від обох щілин.

В тих напрямках, в яких є від однієї із щілин не розповсюджується світло, теж будуть спостеріг. мін.

Усіма справа відбувається з так: вони вже не будуть спостерігатися в тих же напрямках, що і у випадку 1 щілини. Це подіється з фундаментальною інтерференцією хвиль від 2 щілин  $\Rightarrow$  в деяких напрямках вони будуть компенсуватися  $\Rightarrow$  виникають додаткові мін., наприклад на які визначаються умовою:

$$\text{умова min: } d = M F = M M, \sin \varphi = m \lambda + \frac{\lambda}{2} \equiv (2m+1) \frac{\lambda}{2} \quad (1)$$

Для 1 щілини буде підсчитуватись дію  $m = 0, 1, 2, \dots$

$$\text{умова max: іншої щілини, якщо } M, F = M M, \sin \varphi = m \lambda \quad (2)$$

(2) - умова головних max.

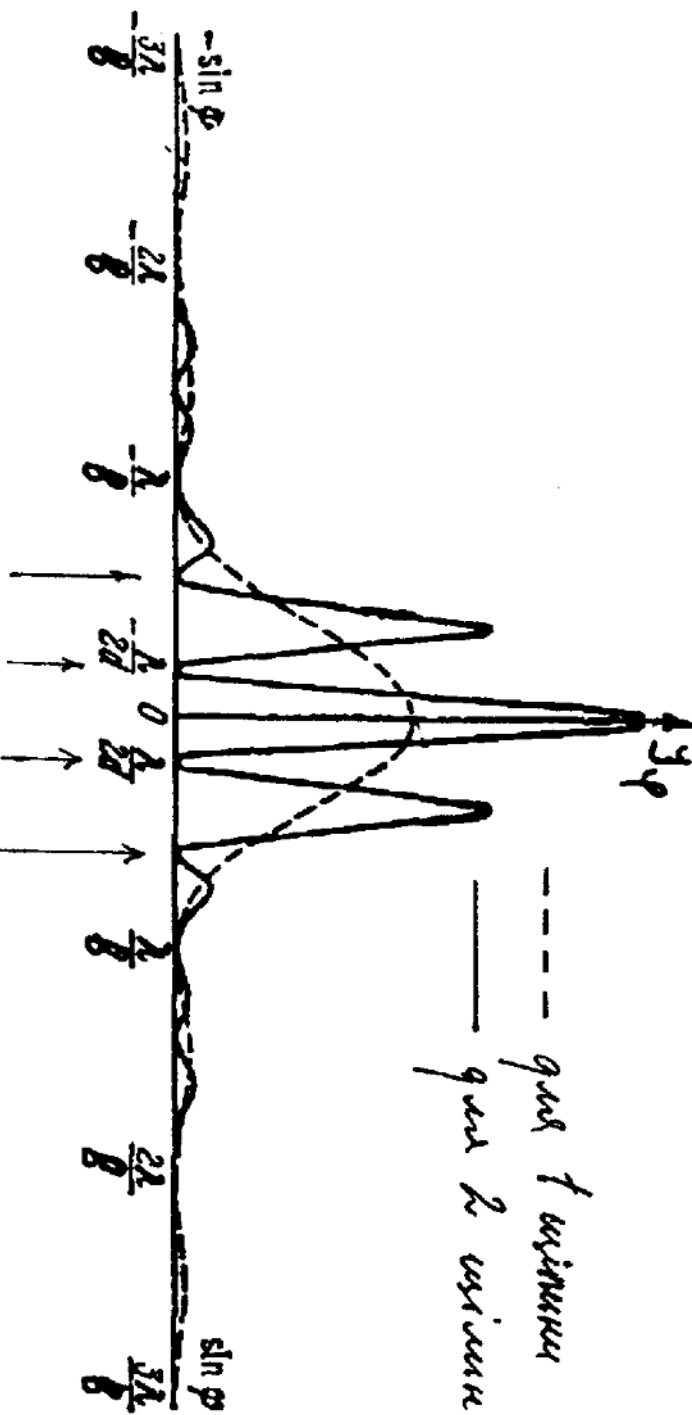
Якщо  $a+b=d$ , то (1) і (2) перепишуться:

$$d \cdot \sin \varphi = (2m+1) \lambda / 2 - \text{умова додаткових min}$$

$$d \cdot \sin \varphi = m \lambda - \text{умова головних max}$$

Попередні мін спостерігаються в напрямках, яким дозволяє умова  $b \cdot \sin \varphi = m \lambda$  - умова

компенсіючих мін  
(для 1 щілини ширини  $b$ ).



Dopatkohr min.

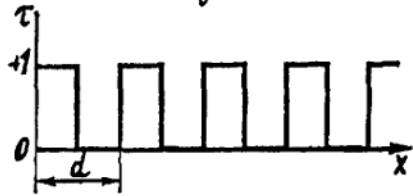
Die 2.-x wischen mit gassen zugeschlossen  
wurde max. lange 1. dopatkohr min.

Das 3.-x wischen - 2 gas. min, gas

N edismen -  $(N-1)$  gas. min.

## Дифракція світла на багатьох щілинах

По аналогії із діфф. на 2-х щілинах приходимо до висновку, що у випадку з  $N$ -ма щілинами між сусідніми макс спостерігається  $2$  додаткових мін; у випадку з



$N$  щілинами число додаткових мін, які спостерігаються між сусідніми макс, дорівнює  $N-1$ .

$$\text{Період } d = a + b$$

$\chi$ -кофр. пропускання (змінюється стрибком)

В напрямку  $\varphi=0$  результ. ампл. від  $N$  щілин

$$E_0 = N E_{01}, \text{ де } E_{01} - \text{амплітуда коливань від 1-ї щіл.}$$

$$\text{Унтенсивність в напрямку } \varphi=0 \quad I_0 = C N^2 E_{01}^2$$

$$\text{де } C - \text{кофр. пропуск.} \quad I_0 \sim N^2!$$

Мін буде спостерігатись в тому випадку, коли коливання від 1-ї щіл. і останньої щіл. будуть відрізнятись по фазі на  $2\pi$ :  $N \cdot \delta = 2\pi$ , де  $\delta$  - різниця фаз коливань від сусідніх щілин  $\Rightarrow \delta = 2\pi/N$ .

З іншого боку  $\delta = k \cdot \Delta l = \frac{2\pi}{\lambda} \cdot \Delta l$ , де  $\Delta l$  - різниця ходу променів від сусідніх щілин.

$$\frac{2\pi}{N} = \frac{2\pi}{\lambda} \cdot \Delta l \Rightarrow \Delta l = \frac{\lambda}{N}.$$

Умова додаткових мін, розташованих між головними макс:  $d \cdot \sin \varphi = m \lambda + p \cdot \frac{\lambda}{N}$  (B) де  $p = 1, 2, \dots, N-1$

Між двома сусідніми головними макс знаходиться  $(N-1)$  додаткових мін та  $(N-2)$  додаткових макс.

Процесор. (B):  $d \cdot \cos \varphi \cdot d\varphi = \frac{\lambda}{N} \cdot dp ; \quad dp = 1 \Rightarrow$

$$\Delta \varphi = \frac{\lambda}{N \cdot d \cdot \cos \varphi} = \frac{\lambda}{L \cdot \cos \varphi} \quad (C) \quad \begin{array}{l} \text{Кутова широта головного макс} \\ L' - \text{ширина періодичної структури} \end{array}$$

- Ananigz(C): 1) Тру макс кутия  $\varphi$  параллелен  $\cos \varphi \approx 1$ .
- Тоги  $\Delta \varphi = \frac{\pi}{N \cdot d}$ . Тру  $d = \text{const}$  иж зоинческих меж да висин ( $N$ ), тики зоинческих ижекческих. Ты  $(\sim N^2)$ , бигдрастаре тики  $(\sim \frac{1}{N})$  зоинческих зонобум  $\max(\cos \varphi)$  максимум  $\cos \varphi \approx 1$ , каш  $\cos \varphi \approx 1$ .
- 2) Величина  $\Delta \varphi$  зонобум не биг  $d$ ;  $N$  олшено, а биг  $d \cdot N$ , ради биг  $L$ .
- 3) З рахон кута  $\varphi$  параллелен максимум  $\cos \varphi$  зонобум.
- 4) Тодобни максимум  $\cos \varphi$  тас бигдрастаре, каш  $\sin \varphi$  максимум  $\cos \varphi$  зонобум ( $L$ ) та кешине күттепараллелен ( $\varphi$ ).

Розподіл інтенсивності в дифракційній картині від N щілин

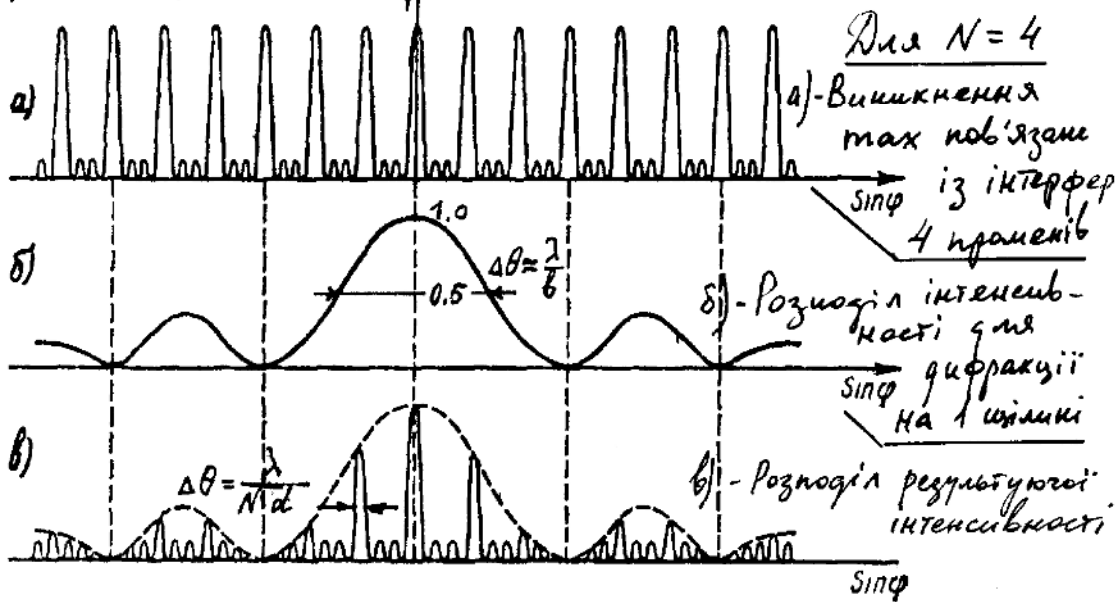
Для 1 щілини було знайдено

$$I_\varphi = I_0 \frac{\sin^2\left(\frac{\pi b}{\lambda} \cdot \sin \varphi\right)}{\left(\frac{\pi b}{\lambda} \cdot \sin \varphi\right)^2} = I_0 \left(\frac{\sin u}{u}\right)^2$$

де  $u = \frac{\pi b}{\lambda} \cdot \sin \varphi$ ;  $I_0$  - інтенсивність біг всієї щілини в напрямку  $\varphi=0$

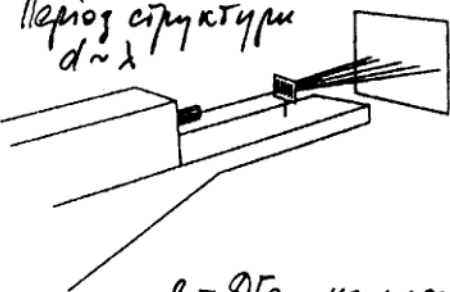
Для N щілин:  $I_\varphi = I_0 \left(\frac{\sin u}{u}\right)^2 \left(\frac{\sin Nd}{\sin \Delta\theta}\right)^2$

де  $d = \frac{\pi d}{\lambda} \sin \varphi$ ;  $I_\varphi$  - інтенсивність в напрямку  $\varphi$



## Дифракційна гратка (ДГр)

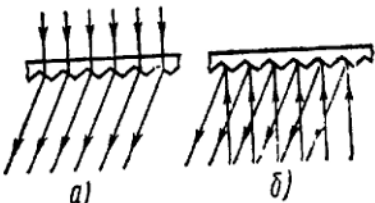
Період структури  
 $d \approx \lambda$



Типи періодичних структур



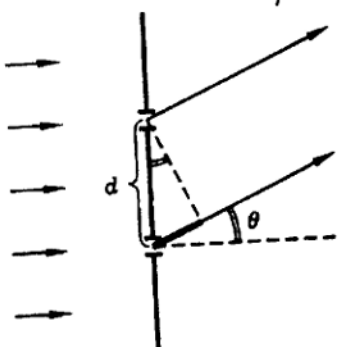
а - ДГр "на прохід"  
б - ДГр "на відбиття"



### Рівнення ДГр

$$\Delta = d \cdot \sin \theta - 3 \text{ рис.}$$

$$\Delta = m \cdot \lambda - \text{число max (за виднаженням)}$$

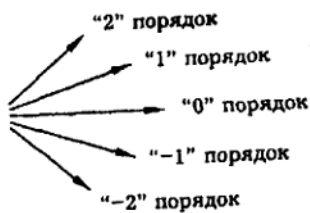


$$d \cdot \sin \theta = m \lambda \quad (1) \quad m = 0; \pm 1; \pm 2 \dots$$

$$\sin \theta = m \frac{\lambda}{d} \quad \text{Аналіз (1):}$$

$$1) d \approx \lambda \approx 10^{-4} \text{ см} = 1 \text{ мкм}$$

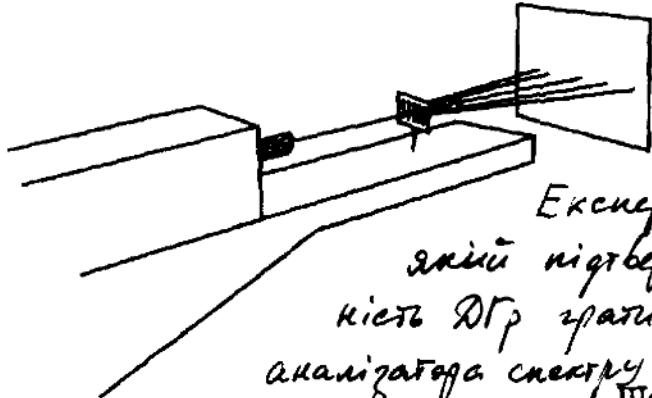
При цьому max і min будуть поєднані під згаданими кутами  $\varphi$ . З цого також відає, що ДГр повинна мати число ширмів  $\approx 10^2 \div 10^3 / \text{мм}$



$$2) \text{ Якщо } d < \lambda, \text{ то при } m = 1 \quad \sin \theta = \frac{\lambda}{d} > 1 - NO!$$

Залишається лише  $m = 0$ . Це означає, що дифракції немає.

3) Положення max залежить від  $\lambda \Rightarrow \theta(\lambda) \Rightarrow$   
ДГр - спектральний прилад та аналізатор спектру.



Експеримент,  
який підтверджує зда-  
ність ДГр зробити роль  
аналізатора спектру

Щелей на  
міліметр

• • • • •	• • • • •	• 100
••	••	• 200
••	••	• 600

### Як виготовити ДГр



1) 1821 р. Фраунгофер:

2 лінії з насадженим дротом:  
40 - 340 штр/дюйм.

визначив довж. хвилі Д-лінії Na:  $\lambda = 5886 \text{ \AA}$

2) Метод гравіровки на склі або на півці Аи, яка  
нанесена на скляну пісковину: 8000 штр/дюйм,  
 $d = 3 \text{ мкм}$ ;  $L = 0.5 \text{ дюйм}$

3) Розклад: вимуті ДГр - до 20 тис. штр/дюйм  
 $L = 10 \text{ см}$ .

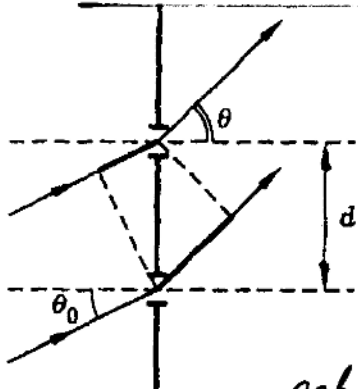
4) Сучасні ДГр: а) на відбивці, щодо якого штрихи -  
трикутник - ешелетти. В ненужовий час „перек-  
лючається“ до 70-80% світлової енергії:

$\lambda = 1 \text{ мкм} \div 0.1 \text{ мкм}$  і навіть діє рентгенівської  
обл. ( $\lambda \approx 1 \text{ нм}$ );  $L = 40 \text{ см}$ ;  $4 \div 3600 \text{ штр/мм}$

б) копії з гравірованих ДГр - репліки.

6) фотографічні ДГр.

### Нахилене падіння променів на дифракційну гратку



$$\Delta = d(\sin \theta - \sin \theta_0)$$

$$\Delta = m \lambda, \text{ де } m = 0, \pm 1, \pm 2 \dots$$

$$d(\sin \theta - \sin \theta_0) = m \lambda$$

При сковзаючому падінні, коли  $\theta_0 \rightarrow \frac{\pi}{2}$ , кавіт згуба

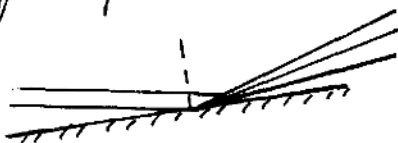
ДГр (з періодом  $d \gg \lambda$ ) може надати помітну дифракцію

$$\begin{aligned} \theta \approx \theta_0 &\Rightarrow \sin \theta - \sin \theta_0 = 2 \sin \frac{\theta - \theta_0}{2} \cdot \cos \frac{\theta + \theta_0}{2} \approx \\ &\approx (\theta - \theta_0) \cdot \cos \theta_0 \end{aligned}$$

$$(\theta - \theta_0) \cdot \cos \theta_0 = \frac{m \lambda}{d} \Rightarrow \frac{m \lambda}{d \cdot \cos \theta_0} = \frac{m \lambda}{d_{\text{dep}}} = \theta - \theta_0$$

Через те, що  $\theta_0 \approx \frac{\pi}{2} \Rightarrow d_{\text{dep}} \ll d$

Дифракцію світла можна спостерігати кавіт на грамофонній пластині з  $d \approx 100 \text{ мкм}$



Сковзаюче падіння бісого світла

## Характеристики ДГр як спектрального приладу

1) Кутова дисперсія:  $D_\varphi = \frac{\delta\varphi}{\delta\lambda}$  де  $\delta\varphi$  - кутова відстань між спектральними лініями, які відстають одна від одної на  $\delta\lambda = \lambda_2 - \lambda_1$ .

2) Лінійка дисперсія:  $D_e = \frac{dl}{d\lambda}$ ;  $D_e = f \cdot D_\varphi$  де  $f$  - фокусна відстань лінзи, яка працює спектр на екран.

Деякі ДГр мають спостерігається, коли  $d \cdot \sin\varphi = m \cdot \lambda$   
 $d \cdot \cos\varphi \cdot \delta\varphi = m \cdot \delta\lambda \Rightarrow D_\varphi = \frac{\delta\varphi}{\delta\lambda} = \frac{m}{d \cdot \cos\varphi}$

$D_\varphi$  (а значить і  $D_e$ )  $\sim m \Rightarrow$  збільшуючи  $m$ !

$D_\varphi \sim \frac{1}{d} \Rightarrow$  зменшуємо  $d$ !

3) Розподільна сила ( $A = \frac{1}{\delta\lambda}$ )

Принцип розподільної

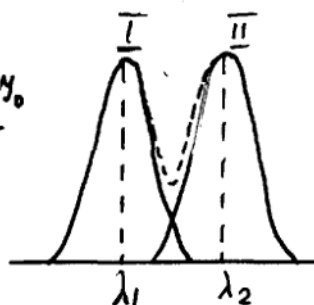
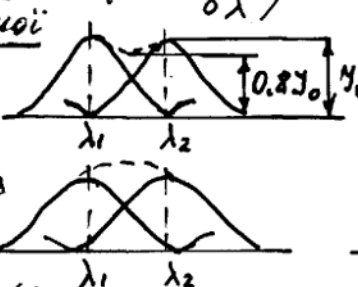
здатності Релея:

мінімальна від-

стань між двома

спектральними

лініями, які можна



розподілити (розрізняти як обі), відповідає випадку, коли максимум I лінії співпадає з мінімумом II лінії

Максимум  $m$ -го порядку для піднесення з  $\lambda_1$  та  $\lambda_2$  спостерігається відповідно під кутами  $\varphi_m^{(1)}$  та  $\varphi_m^{(2)}$

$$\left\{ \begin{array}{l} d \cdot \sin\varphi_m^{(1)} = m \lambda_1 \\ d \cdot \sin\varphi_m^{(2)} = m \lambda_2 \end{array} \right.$$

$$\left\{ \begin{array}{l} d \cdot \sin\varphi_m^{(1)} = m \lambda_1 \\ d \cdot \sin\varphi_m^{(2)} = m \lambda_2 \end{array} \right.$$

Перехід від max до сусіднього мін  $x$ -етапе різни-  
чево ходу  $\Delta = \frac{\lambda}{N}$ , де  $N$ -загальна кількість штири-  
хів в  $\text{ДГр}$ . Тоді  $m$ -ий мін поз  $\lambda_1$  буде задовіль-  
нити умові:  $d \cdot \sin \varphi_{\min}^{(1)} = m \lambda_1 + \frac{\Delta \lambda}{N}$

Відповідно до критерію Релея, розподілення мінімів має  
вигляд, коли  $\varphi_m^{(1)} = \varphi^{(2)} \Rightarrow m \cdot \lambda_1 + \frac{\lambda_1}{N} = m \lambda_2$

$$\frac{\lambda_1}{\lambda_2 - \lambda_1} = m \cdot N = A \quad \begin{matrix} \text{роздільна сила} & (A) \\ \text{чи більше, тим краще} & \end{matrix}$$

Аналіз (A): 1)  $A \sim m$  (еківенція  $D_g \sim m$ ).  
2)  $A \sim N$  ( $D_g \sim n$ )  $N$ -загальна кіль-  
кість штирихів;  $n$ -число штирихів на од. довжині  
 $\text{ДГр}$   $n = N/L$ .

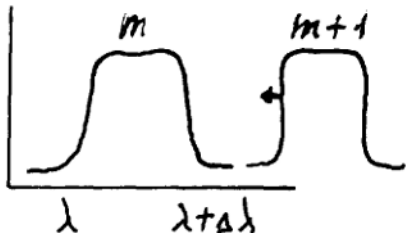
3) Знайдено максимум значення  $A$  ( $A_{\max}$ ):

$$d \cdot \sin \varphi = m \lambda \Rightarrow m = d \cdot \sin \varphi / \lambda \Rightarrow m_{\max} = \frac{d}{\lambda}$$

$$A_{\max} = m_{\max} \cdot N = \frac{d}{\lambda} \cdot N = \frac{L}{\lambda} \quad N \cdot d = L - \text{рівність}$$

4) Якщо  $\in$  декілька  $\text{ДГр}$  з різними  $d_i$ ,  
але однаковими  $L = N_1 d_1 = N_2 d_2 = \dots$ , то ці  $\text{ДГр}$   
матимуть одинакову  $A$ . Але тоді треба дивитися на  $n$ -  
кількість штирихів на 1 од. довжині  $n = \frac{N}{L} = \frac{N/d}{L} = \frac{1}{d}$   
Наявністю виготовлені  $\text{ДГр}$  з великою розширеністю робо-  
тії довжини  $L = 8-15-20$  см. Сучасні  $\text{ДГр}$  мають  
 $A = 10^5 - 2 \cdot 10^5$  (у інтерфером. Ф.-П.  $A$  до  $10^6$ ).

Висперсна област (G) - максимальна ширина  
спектрального інтервалу, при якому ще не  
відбувається перекривання спектрів сусідніх  
попредків, що відповідають початку і кінцю інтер-  
вала.



Спектр. прилад може розріз-  
нити окремі довжини хвиль і  
ідентифікувати їх, якщо правий  
краї спектру  $m$ -го порядку  
розділюється лівим, ніж

лівий край спектру  $(m+1)$ -го порядку.

Число меж ідентифікації спектральних ліній буде від-  
повідно  $(m+1)$ -го порядку з довжиною  $\lambda$ .  $\lambda$  з  $m$ -им  
макс. довж. хвилі  $(\lambda + \Delta\lambda)$ :

$$d \cdot \sin \varphi_m = m(\lambda + \Delta\lambda); \quad d \cdot \sin \varphi_{m+1} = (m+1)\lambda$$

$$\varphi_{m+1} = \varphi_m - \text{за визначенням } G$$

$$m(\lambda + \Delta\lambda) = (m+1)\lambda \Rightarrow G = \Delta\lambda = \frac{\lambda}{m}$$

$$G \approx \frac{1}{m}! \quad \text{Для } \Delta\Gamma \text{ } m\text{- мало } (\sim 2, 3.)$$

$$\text{Тому } G \approx \left(\frac{1}{2} \div \frac{1}{3}\right) \lambda! \quad G \approx 2000 \text{ \AA}$$

Для порівняння: інтерфер. спектроскопи (інтерфер. Фабрі-Перо) мають  $m = 10^5 \div 10^6 \Rightarrow G = \frac{\lambda}{10^6} = \frac{5000 \text{ \AA}}{10^6} = 0.005 \text{ \AA}$ . Для дослідження тонкої і над-  
тонкої структури спектр. ліній.

Для  $\Delta\Gamma$  дуже велика дисп. област. Це дає:

сталі можливості проведення спектр. аналізу в широкому діапазоні спектру (навіть більшою частині).

Питання: "  $G$  - краще більше, чи краще менше?"  
Відповідь: " Давайте ділімо!"